

これらの歪比から考察すると、焼もどし温度の影響は平滑試片のほうが著しく、また静的より衝撃のほうが K の値が大きい。

3.3 衝撃エネルギー

従来、低温における衝撃値を知るためのシャルピー試験、低温引張衝撃、また高温や高速衝撃など非常に多くの衝撃研究が報告されている。ここでは平滑および切欠試片の衝撃性質を、熱処理温度を変化させながら考察した。Fig. 2 の e と f はバネ鋼と軟鋼の衝撃値を示す。衝撃エネルギー-温度曲線上の遷移点を、V型切欠に対し規定した、ASTM や BS などによる T_{15} (15ft-lb) はバネ鋼では 300°C に遷移点が現われ、また軟鋼では遷移点が現われない。延性破面遷移温度を考察すると、バネ鋼は 400°C (平滑)～ 450°C (切欠) で遷移が起こっている。また軟鋼は 200°C すでに、破面遷移が現われている。

切欠試片の衝撃値はバネ鋼と軟鋼のいずれも熱処理温度の変化の影響が少ないが、平滑試片は大きい。平滑および切欠試片の衝撃値比を β とすれば、

バネ鋼および軟鋼の β の値は、Fig. 3 の結果による
と、

- (a) バネ鋼:
 $\beta_K = 1.05 \sim 1.2$ (100~300°C の間)
 $\beta_K = 2.5 \sim 4.45$ (400~700°C の間)

(b) 軟 鋼:
 $\beta_M = 1.5 \sim 2.8$ (100~800°C の間)

次に衝撃エネルギーと静的エネルギーを比較すると衝撃のほうが大きかつた。衝撃エネルギーは衝撃試験機に指示されたものを使うこともできるが、オッショロスコープの衝撃荷重時間曲線を、CLARK, BARONなどの方法により、衝撃荷重時間曲線を作り、これと静的荷重-伸び曲線をプラニメーターで測定し一部比較した。従来多くの研究では焼鈍材や冷間加工材に対し、常温や低温における衝撃エネルギーが静的エネルギーよりも大きいことが報告^{1)~5)}されている。本実験では熱処理された平滑および切欠き試片に対し、常温でも成立することを確認した。

4. 結 言

1. 平滑および切欠試片の衝撃抗張力は熱処理温度を変化させた場合、焼鈍平滑試片の抗張力より $1.25 \sim 4.5$ 倍も大きかつた。
 2. 平滑および切欠抗張力の比は、バネ鋼と軟鋼いずれも一定の値、 0.75 に接近していた。また焼もどし温度によって抗張力は異なるが、静的より衝撃のほうが大きい。
 3. 歪は温度によつて非常に大きい変化を示すが、衝撃と静的歪の間には差が少ない。しかし平滑と切欠歪の比は衝撲のほうが大きく、また軟鋼よりバネ鋼のほうが温度の影響は大きい。
 4. 衝撲値は平滑試片のほうが大きく、また焼もどし温度の影響も著しい。

文 献

- ¹) D. S. CLARK & D. S. WOOD: Trans. Amer.

- Soc. Metals, 42 (1950), p. 45
 2) 作井誠太, 大森正信: 鉄と鋼, 45 (1959), p. 451
 3) H. G. BARON: J. Iron & Steel Inst (U. K.),
 182 (1956), p. 354
 4) D. S. CLARK: Trans. Amer. Soc. Metals, 46
 (1954), p. 34
 5) 作井誠太, 佐藤公子, 秋葉久三郎: 金属学会誌,
 20 (1959), p. 332
 6) M. MANJOINE & A. NADAI: Proc. ASTM, 40
 (1940), p. 822

(130) 衝撃引張試片における機械的性質に関する研究

(鉄鋼の切欠および平滑試片における熱処理 温度と衝撃性質の関係—II—)

東北大學，金屬材料研究所

○廉 永 夏

Studies on the Mechanical Properties of Tensile Impact Specimen.

(Relations of heat-treated temperature and impact properties for both notched and unnotched specimen of the steels— II)

Yung-Ha YUM.

1. 緒 言

第1報に引き続いて、熱処理温度の変化が平滑および切欠試片およびぼす影響を、オッショロスコープ写真による衝撃荷重-時間曲線および、静的荷重-伸び曲線の解析によつて、バネ鋼と軟鋼の機械的性質を考察した。

2. 実験結果および考察

実験結果によると、バネ鋼と軟鋼のブリネル硬さ(H_B)と衝撃値の変化などと焼もどし温度の関係は、Fig. 1に示した。前報にて衝撃値と焼もどし温度関係は説明したので、ここでは硬さ衝撃値の関係について考察する。図で硬さは温度上昇とともに減少し、衝撃値は増加を示すが、バネ鋼の場合その変化が軟鋼に比して複雑である。普通焼入れ、焼もどしされた炭素鋼の硬さ(H_B)と、顕微鏡組織の間には密接なる関係があるので、本研究の試片の硬さを知ることによって、その組織および衝撲値の推定も可能になるものと思う。

Fig. 2 [A] は衝撃エネルギー硬さ曲線である。曲線上の 1, 2, 3 などの数字は、それぞれ焼もどし温度 100° , 200° , 300°C などの略字である。バネ鋼の場合切欠衝撃値は、焼もどし温度の上昇とともに増加するが、 $H_B = 350$ 附近までは、ばらつきが大きく、 $H_B < 350$ ではほぼ安定して変化は小さい。平滑試片は焼もどし温度の高い $500^\circ \sim 700^\circ\text{C}$ でやや安定性を示している。軟鋼の場合、平滑試片の衝撃値と硬さの間には、一定の関係が成立している。すなわち、

$$E_{\text{MA}} = -\frac{1}{16}H_B + 24 \dots \dots (H_B = 110 \sim 250 \text{ の範囲})$$

また切欠試片では、焼もどし温度の変化によって多少差異はあるが、硬さの変化に比して、衝撃値の変化はきわ

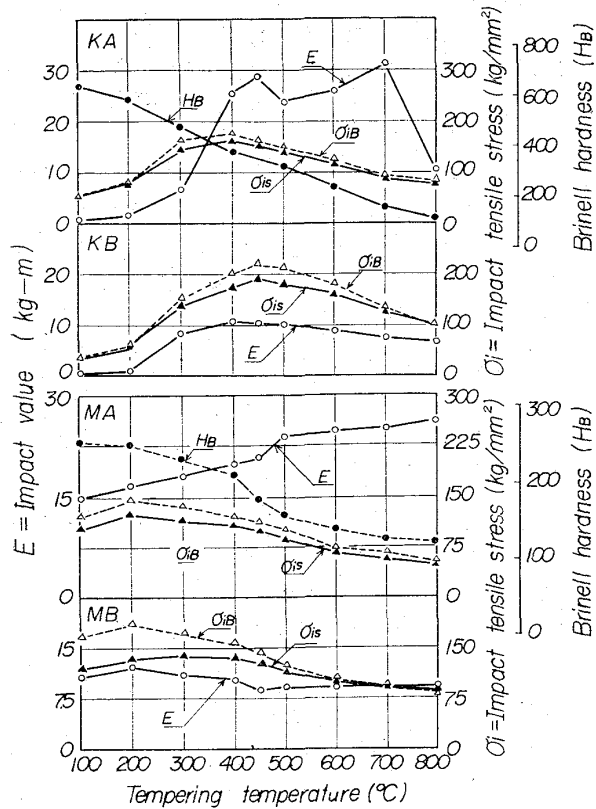


Fig. 1. Impact value, impact stress, Brinell Hardness versus tempering temperature curves for spring steel (KA, KB) and mild steel (MA, MB).

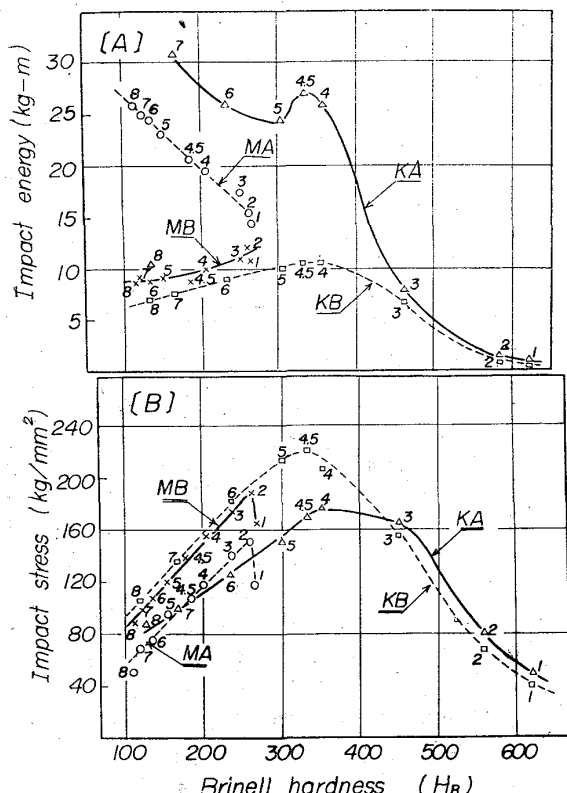


Fig. 2. Impact energy-hardness [A] and impact stress-hardness [B] relations for spring and mild steel.

めて少ないことがわかる。以上のことから平滑試片の衝撃値は、 $H_B < 300$ では硬さの減少とともに、ほぼ直線的に増加するが、切欠試片の衝撲値は硬さの変化に比してきわめて小さい。

2.1 降伏点、抗張力および衝撃値

Fig. 1 は KA, KB, MA および MB の降伏点 (σ_s), 抗張力 (σ_B) および衝撃値 (E) 曲線と焼もどし温度の関係を示したものである。KA と KB の場合, 200°C 以下では降伏点と抗張力が, ほとんど一致しているが, 300°C 以下では焼もどし温度上昇とともに, 降伏点が明りよう現われた。実験結果を見ると, 衝撃降伏点 (σ_{is}) が静的降伏点 (σ_{ss}) よりも大きい。すなわち,

衝撃降伏点と静的抗張力 (σ_B) を比較すれば、 $100^\circ\sim 200^\circ\text{C}$ の間では、差異が少ないが、 300°C 以上では衝撲降伏点のほうが大きい。すなわち、

(a) バネ鋼:

$$\sigma_{\text{is}} = (1.07 \sim 2.3) \sigma_B, \quad (\text{平滑}),$$

また $\sigma_{\text{is}} = (1.32 \sim 2.52) \sigma_B$ ……(切欠)

軟鋼の場合も上記(1)と(2)式の衝撃降伏点に関する一般的な事柄は、類似した傾向を示していた。軟鋼では焼もどし温度、 $100^{\circ}\sim 800^{\circ}\text{C}$ の間では次の範囲であった。

(b) 軟 鋼:

$$\sigma_{\text{is}} = (1.14 \sim 2.9) \sigma_B, \quad (\text{平滑}),$$

また $\sigma_{\text{is}} = (1.8 \sim 3.25) \sigma_B$ ……(切欠)

WHITE¹⁾らも、焼鉋した平滑試片に対し衝撃降伏点のほうが大きい事実を認めている。

バネ鋼および軟鋼の衝撃値と衝撃引張応力の関係を Fig. 3 [A] に示した。軟鋼の平滑および切欠試片においては、ほぼ一定の関係が保たれているが、しかしバネ鋼の場合には非常に複雑な変化を示している。平滑と切欠試片の曲線が、焼もどし温度 $100^{\circ}\text{C} \sim 300^{\circ}\text{C}$ の間では、ほぼ重なり合うが、平滑試片においては $300^{\circ}\text{C} \sim 400^{\circ}\text{C}$ の間で急激な変化を示し、 500°C 以上では応力の減少とともに衝撃値の増加を示している。切欠試片の場合、 $400^{\circ}\text{C} \sim 800^{\circ}\text{C}$ の間では軟鋼の切欠試片に準じた変化を示している。

Fig. 3 A から次の 3 型の傾向を考察することができる。

- (i) a型……衝撃値と衝撃応力が反比例するもの
(例-MA)

(ii) b型……衝撲値と衝撲応力が正比例、または衝撲値のほぼ一定なもの(例-MBとKBの一部)

(iii) c型……a型とb型の組合せたもの(例-KA)
 Fig. 3 [A] から a型は軟鋼および 500°～700°C に
 焼もどされたバネ鋼がこれに属している。b型は切欠試
 片および脆性材質がこれに属する。c型は熱処理の影響
 により a型と b型のいずれもなれるもので、硬さの大き
 い合金鋼などがこれに属する。c型を衝撃構造物に使用
 するときには、熱処理条件に特別の注意を要する。

2.2 衝撃値と衝撃歪

前報で衝撃歪と静的歪はほとんど差がないことが明ら

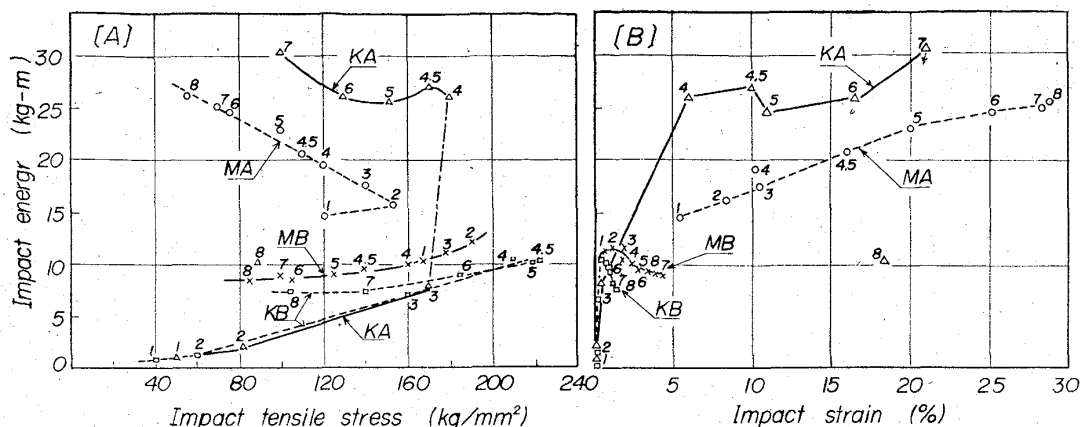


Fig. 3. Impact energy-impact tensile stress curves [A] and impact energy-impact strain curves [B].

かになっている。ここで、衝撃値と衝撃歪の関係を Fig. 3 [B] によつて考察すると、平滑と切欠試片では、曲線の形に相違がある。平滑試片においては、歪の増加とともに衝撃値は増加を示しているが、切欠試片は温度が上昇して塑性歪が増加すると、衝撃値は減少している。しかも歪も衝撃値も非常に小さい。

2.3 衝撃時間

衝撃荷重下における、試片の破壊に要した衝撃時間と熱処理温度の関係を Fig. 4 [A] に示した。バネ鋼と軟鋼の平滑試片は、Fig. 4 [A] のごとく焼もどし温度 700°C で最大値を示し、衝撃時間も長い。バネ鋼の切欠試片は 700°C まではほぼ直線的増加を示して、最大を

示したが、軟鋼の切欠き試片の場合は焼もどし温度の変化にもかかわらず、100~800°C の間で、衝撃時間は短く、ほとんど変化していない。Fig. 4[A] の結果から、バネ鋼の各試片は軟鋼のそれぞれに比して衝撃時間が短い。一般に切欠試片は衝撃時間が短くて衝撃荷重に弱い。平滑試片の場合、400°C 以上で焼もどされたものは、衝撃時間が長くて、衝撃荷重に耐える能力が大きい。それゆえ、従来切欠試片の衝撃結果によつて、衝撃荷重に対する適性を判定したり、または設計資料としたのは考慮すべき点ではないかと思う。平滑構造物には平滑試片による、衝撃資料を使用すべきである。

2.4 衝撃速度および歪速度

衝撃による試片の破壊前後のハンマ速度、 v_1 と v_2 は、次式によつて容易に求められる。

$$W_T H_1 = 1/2 \times m v_1^2 \quad \dots \dots \dots (3)$$

$$W_T H_1 - E = 1/2 \times m v_2^2 \quad \dots \dots \dots (4)$$

ここで W_T はハンマの重さ、 H_1 はハンマの高さ、 E は試片の衝撃値である。一般に衝撃荷重作用途中の速度 v は、均一に減少しているのではなく、 $v_1 - v_2$ の間では常に変化しているので、衝撃荷重 P 、時間 t_n と t_{n+1} の間では、

$$v_n = \frac{1}{m} \int_{t_n}^{t_{n+1}} P dt \quad \dots \dots \dots (5)$$

て表わされるので歪速度も変化する。それで一定の衝撃速度で実験しようとすれば、衝撃試験機の容量を非常に大きくしなければならない。標準 30-kg m では容量が小さすぎる。本実験における衝撃中、材料の抵抗による衝撃速度の変化を、衝撃速度減少率 (ϕ) で表わすと、

$$\phi = (v_1 - v_2) / v_1 (\%) \quad \dots \dots \dots (6)$$

(6) 式による ϕ の変化を、焼もどし温度について図示すれば Fig. 4 [B] の②スケールのごとくなる。各試片の ϕ の変化は衝撃値と焼もどし温度の関係とほぼ類似していることがわかる。

次に衝撃歪速度の焼もどし温度に対する変化は、衝撃歪と衝撃時間の関係からも求められるが、ここでは上記衝撃前後の速度による、衝撃平均速度で、歪速度を計算し、図示すれば、Fig. 4 (B) の④スケールのごとくなる。本実験では最大歪速度 $1.15 \times 10^2 \cdot 1/s$ を起点として、減少している。一般に切欠試片の歪速度は平滑試片に比して大きい。したがつて、速度減少率も大きい。速度減少率が大きい延性材質ほど、衝撃値が大きいことがわかる。

本実験の衝撃（歪速度 $1.15 \times 10^2 \cdot 1/s$ ）と静的（歪速度 $3.7 \times 10^{-3} \cdot 1/s$ ）における、歪速度の比はほぼ

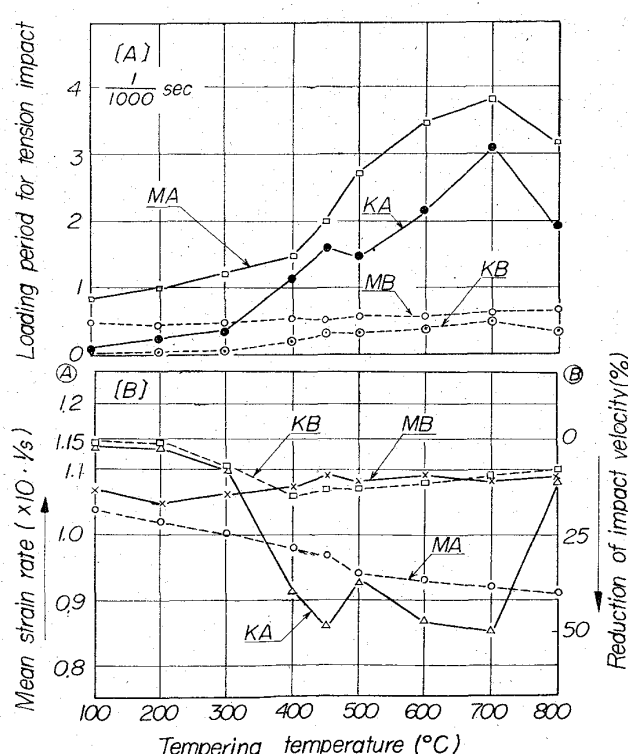


Fig. 4. [A] loading period-tempering temperature curves, and [B] strain rate and reduction of velocity ratio-tempering temperature curves.

